

مقاله علمی-پژوهشی

اثر پوشش گیاهی ناهمگون در نوار کناری سیالبدشت بر ساختار جریان و تلاطم در آبراهه

رو باز مرکب

فریبا احمدی دهرشید^۱، مجید حیدری^{۲*}، مهدی یاسی^۳، علیرضا خوشکش^۴

تاریخ دریافت: ۱۴۰۱/۱۰/۰۷ تاریخ پذیرش: ۱۴۰۱/۱۲/۱۸

چکیده

پوشش گیاهی سیالبدشت می‌تواند خصوصیات جریان رودخانه را با اعمال یک نیروی کشانه اضافی تغییر دهد. در این پژوهش، ساختار جریان و خصوصیات تلاطم تحت اثر پوشش گیاهی دولایه ناهمگون در نوار کناری سیالبدشت‌های یک کanal مرکب مطالعه شد. در مطالعه این پدیده، از یک مدل عددی سه بعدی برای حل معادلات ناویر استوکس و ردیابی سطح آزاد استفاده شد. برای اطمینان از عملکرد مدل، نتایج عددی با استفاده از اداده‌های مطالعات آزمایشگاهی پیشین اعتبارسنجی شد. نتایج اعتبارسنجی نشان داد که این مدل دقت بالایی در بازتولید خصوصیات دینامیکی جریان دارد. در گام بعدی، مدل در پیش‌بینی تغییرات سطح آزاد و میدان سرعت جریان ماندگار در ناحیه دارای پوشش گیاهی سیالبدشت مورد استفاده قرار گرفت. نتایج نشان داد که شکل گیری گرادیان سرعت در فصل مشترک بین کanal اصلی و سیالبدشت، منجر به توسعه جریان‌های ثانویه و انتقال جرم و مومنتوم در این ناحیه می‌شود. همچنین، انرژی جنبشی تلاطم و اتلاف انرژی جریان عبوری از ناحیه دارای پوشش گیاهی در سیالبدشت نسبتاً زیاد است، بنابراین نتیجه‌گیری شد که پوشش گیاهی ناهمگون می‌تواند موجب افزایش تلاطم و اتلاف انرژی جنبشی جریان شود. مقادیر پیشنهادی پارامترهای انرژی جنبشی تلاطم و شدت تلاطم در فصل مشترک سیالبدشت و کanal اصلی رخ داد. بنابراین، تلاطم قابل ملاحظه در فصل مشترک سیالبدشت و کanal اصلی می‌تواند انتقال جرم و مومنتوم را در این ناحیه تقویت کند.

واژه‌های کلیدی: آبراهه مرکب، انرژی جنبشی تلاطم، پروفیل سرعت، پوشش گیاهی لایه‌ای، شدت تلاطم

تنوع زیستی شود (Nepf and Vivoni, 2000; Nepf & Ghisalberti, 2008; Curran and Hession, 2013; Gu et al., 2021). انواع مختلفی از پوشش گیاهی در امتداد آبراهه‌های طبیعی رشد می‌کنند و گاهی اوقات نیز آنها را به منظور اقدامات مهندسی یا نیازهای اکولوژیکی کاشت می‌کنند (Chembolu et al., 2019). براساس راهبرد جدید بخش آب سازمان ملل (UN Water 2018)، مبنی بر "راه حل‌های طبیعی برای حل مسائل آب جهان" (NBSW: Nature-based solution for water for), حفاظت رودخانه از طریق ایجاد نوار سبز (با حضور درختان) در ساحل بالای آبراهه اصلی مورد تأکید قرار گرفته است. با این رویکرد، مطالعات جهت حفاظت بستر اصلی رودخانه، پیوستگی آبراهه اصلی و سیالبدشت، کنترل سیالاب، و بهبود کیفیت آب‌های ورودی به رودخانه، گسترش یافته است (شکل ۱). پوشش گیاهی موجود در کناره‌های سواحل مقاومت در برابر جریان را به دلیل کشانه (Drag) اضافی ایجاد شده افزایش می‌دهد. در نتیجه پوشش گیاهی

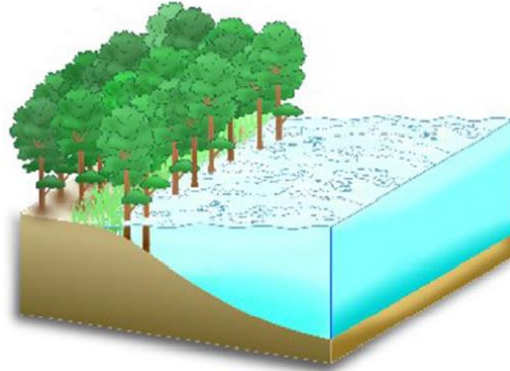
مقدمه

حضور پوشش گیاهی در آبراهه‌ها و تاثیر آن بر ساختار جریان بسیار مورد توجه محققین می‌باشد، زیرا پوشش گیاهی می‌تواند باعث بهبود کیفیت آب، پایدارسازی کناره‌های آبراهه و کاهش فرسایش سواحل و همچنین فراهم نمودن محیط مناسب برای ایجاد زیستگاه و

- ۱- دانشجوی دکتری سازه‌های آبی، گروه علوم و مهندسی آب، دانشکده کشاورزی، دانشگاه بوعلی سینا، همدان، ایران
 - ۲- دانشیار گروه علوم و مهندسی آب، دانشکده کشاورزی، دانشگاه بوعلی سینا، همدان، ایران
 - ۳- دانشیار گروه مهندسی آبیاری و آبادانی، دانشکدگان کشاورزی و منابع طبیعی، دانشگاه تهران، کرج، ایران
 - ۴- دکتری سازه‌های آبی، گروه علوم و مهندسی آب، دانشکده کشاورزی، دانشگاه بوعلی سینا، همدان، ایران
- (Email: mheydari@basu.ac.ir) (**) نویسنده مسئول: DOR: 20.1001.1.20087942.1402.17.3.6.4

(2019).

بر توزیع سرعت متوسط جریان، تنש‌های رینولز و شدت تلاطم
تأثیر می‌گذارد (Nepf & Vivoni, 2000; Lopez & Garcia, 2001; Tang & Knight, 2009; Zhao & Huai, 2016; Tang,



شکل ۱- طرحی از رودخانه طبیعی دارای پوشش گیاهی در کناره سیلابدشت (Zhang et al., 2022)

2019, 2021a and 2021b). نتایج آنها نشان داد که پروفیل-های سرعت در پوشش گیاهی دو لایه به طور قابل توجهی با پروفیل سرعت در پوشش گیاهی یک لایه متفاوت است. همچنین آنها بیان کردند که نحوه تغییرات سرعت و بدء در کانالی که به صورت جزئی توسط پوشش گیاهی با دو ارتفاع مختلف پوشیده شده است، به صورت دقیق شناخته شده نیست. با این حال، مطالعات کمی در مورد تأثیر پوشش گیاهی دو لایه ناهمگون در نوار کناری سیلابدشت، که معمولاً در آبراهه‌های طبیعی وجود دارد، انجام شده است. از این‌رو، در این تحقیق به مطالعه عددی ساختار پیچیده جریان تحت تأثیر پوشش گیاهی لایه‌ای ناهمگون در نوار کناری سیلابدشت‌های یک کanal مرکب ذوزنقه‌ای تحت شرایط استغراق مختلف و در دو چیدمان متفاوت پرداخته شد.

مواد و روش‌ها

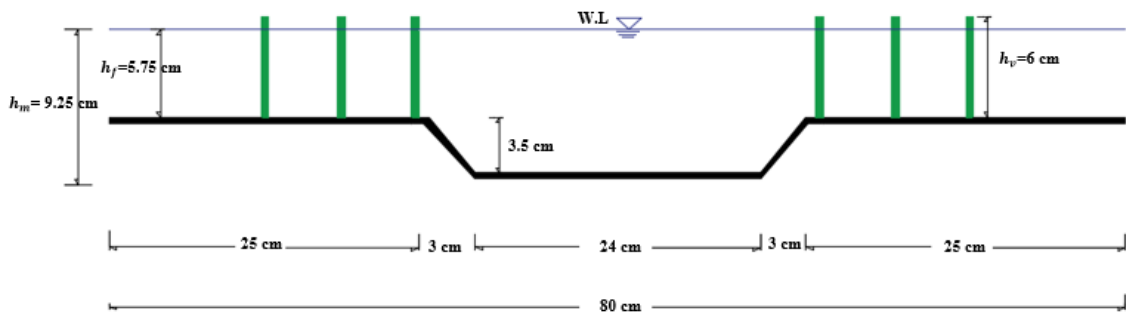
دینامیک سیالات محاسباتی (CFD) روشی برای شبیه‌سازی پروسه جریان است که در آن معادلات استاندارد جریان مانند معادلات ناویر-استوکس گسترش‌سازی می‌شوند و برای هر سلول محاسباتی حل می‌شوند. شبیه‌سازی عددی با استفاده از یک نرمافزار، شرایط زیادی شبیه به انجام آزمایش است. اگر در یک آزمایش، شرایط آزمایشگاهی نتواند آن طور که باید، شرایط واقعی را توصیف کند، نتایج به دست آمده از آزمایش نیز بازگو کننده نتایج واقعی نخواهد بود. در شبیه‌سازی عددی نیز چنانچه شرایط معرفی شده به مدل عددی مناسب نباشد، نتایج قبل استناد نخواهد بود. در پژوهش حاضر ساختار جریان در آبراهه مرکب دارای پوشش گیاهی دو لایه در نوار کناری سیلابدشت با استفاده از نرمافزار FLOW-3D شبیه‌سازی شد. FLOW-3D یک نرمافزار قوی و جامع در زمینه دینامیک سیالات

در مطالعات پیشین عموماً به صورت آزمایشگاهی ساختار جریان تحت تأثیر پوشش گیاهی یک لایه (پوشش گیاهی با یک ارتفاع ثابت) که با استفاده از استوانه‌های مصنوعی از نوع صلب یا انعطاف‌پذیر شبیه‌سازی شده بود، بررسی شده است و همچنین در این مطالعات شرایط جریان به صورت غیرمستقر یا کاملاً مستقر مورد بررسی قرار گرفته است (Carollo et al., 2002; Stone & Shen, 2002; Tang & Knight, 2009; Tang & Ali, 2013; Yang et al., 2020; Yan et al., 2020). همچنین ساختار جریان در آبراهه‌های دارای پوشش گیاهی (یک لایه و دو لایه) از طریق مدلسازی عددی و دینامیک سیالات محاسباتی (CFD) با استفاده از نرم-افزارهای تجاری مانند FLOW-3D و FLUENT نیز بررسی شده Lopez & Garcia, 2001; Neary, 2003; Souliotis & Prinos, 2011; Zeng & Li, 2014; Anjum et al., 2018; Anjum & Tanaka, 2020; Rahimi et al., 2020a; Dehrashid et al., 2022) است. در نواحی ساحلی آبراهه‌ها، انواع مختلف پوشش گیاهی با ارتفاع‌های گوناگون مانند علف‌ها، درختچه‌ها و درختان وجود دارد که اغلب پوشش گیاهی با ارتفاع کوتاه‌تر مستقر و پوشش گیاهی با ارتفاع بلندتر غیرمستقر است. بنابراین، در این شرایط ساختار جریان به دلیل اندرکش بین جریان و پوشش گیاهی ناهمگون بسیار پیچیده می‌شود. برای درک تأثیر پوشش گیاهی ناهمگون دو لایه بر ساختار جریان، چندین مطالعه آزمایشگاهی در یک کanal روباز با بستر کاملاً پوشیده شده توسط پوشش گیاهی با دو ارتفاع مختلف انجام شده است (Liu et al., 2010; Anjum et al., 2018; Tang et al., 2018 and 2019; Rahimi et al., 2020a and 2020b). تانگ و همکاران نیز آزمایش‌هایی را جهت بررسی ساختار جریان تحت تأثیر پوشش گیاهی دو لایه در یک کanal که نیمی از بستر پوشیده از پوشش گیاهی است، انجام دادند (Tang et

متر انجام دادند. شبکه کانال ثابت و برابر با $1/1000$ است. عرض کف آبراهه اصلی $24/0$ متر، عرض بالای آبراهه اصلی $3/0$ متر و عرض سیلابدشت‌های دو طرف آن $25/0$ متر است (شکل ۲). پوشش گیاهی توسط استوانه‌های صلب به قطر $(D) = 12/0$ متر و با ارتفاع (h_v) ثابت $6/0$ متر در نوار کناری سیلابدشت‌های کانال مرکب قرار داده شده‌اند (شکل ۲). نحوه چیدمان استوانه‌ها به صورت زیگزاگی بوده و با تراکم $\lambda_{veg} = 1 \text{ m}^{-1}$ کنار هم قرار گرفته‌اند. فاصله طولی و عرضی بین استوانه‌ها (ΔS) معادل $55/0$ متر است. خلاصه‌ای از شرایط آزمایشگاهی مطالعه تاکیویا و همکاران در جدول (۱) ارائه شده است. در این جدول λ_{veg} تراکم پوشش گیاهی، D قطر پوشش گیاهی، h_v ارتفاع پوشش گیاهی، ΔS فاصله بین استوانه‌های پوشش گیاهی، Q بدء، U سرعت متوسط، Fr عدد فرود و Re^* عدد رینولدز جریان است.

محاسباتی می‌باشد که از روش تفاضل محدود (یا حجم محدود) جهت حل معادله‌های حاکم بر حرکت سیال (معادلات ناویر-استوکس) استفاده می‌کند. در این نرمافزار پنج مدل تلاطمی مختلف طول RNG اختلاط پرانتل، مدل یک معادله‌ای، مدل دو معادله‌ای $k - e$ و مدل شبیه‌سازی گردابه‌های بزرگ (LES) برای حل خصوصیات جریان‌های متلاطم استفاده می‌شود. در نرمافزار 3D FLOW از دو تکنیک عددی روش حجم سیال (VOF) و روش کسر مساحت-حجم مانع (FAVOR) برای شبیه‌سازی هندسی با به کارگیری Khoshkonesh *et al.*, (2022).

داده‌های آزمایشگاهی جهت اعتبارسنجی مدل عددی
اعتبارسنجی مدل عددی با استفاده از نتایج آزمایشگاهی تاکیویا و همکاران انجام شد (Takuya *et al.*, 2014). آنها آزمایش‌ها را در یک کانال مرکب ذوزنقه‌ای مستقیم به طول $8/4$ متر و عرض $2/8$ متر



شکل ۲- پرش از مقطع مدل آزمایشگاهی (Takuya *et al.*, 2014)

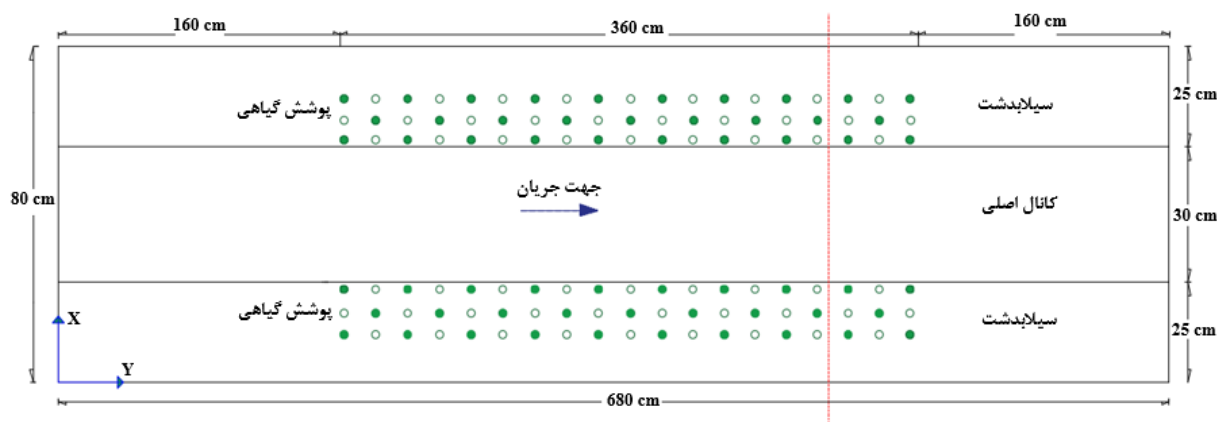
جدول ۱- مشخصات جریان در مدل فیزیکی کانال مرکب با پوشش گیاهی (Takuya *et al.*, 2014)

| عدد رینولدز جریان Re^* | عدد فرود Fr | سرعت متوسط U (m/s) | ساعت Q (l/s) | فاصله بین استوانه‌های گیاهی ΔS (m) | ارتفاع h_v (m) | قطر D (m) | تراکم پوشش گیاهی λ_{veg} (m^{-1}) | عمق آب در سیلابدشت h_m (cm) | عمق آب در آبراهه اصلی h_f (cm) | عمق آب در سطح h_m (cm) | شرایط جریان سیلابدشت |
|--------------------------|---------------|----------------------|----------------|--|------------------|-------------|--|-------------------------------|----------------------------------|--------------------------|----------------------|
| ۲۲/۰ | ۱/۸۱ | ۰/۱۸۱ | ۱۰ | ۵۵/۰ | ۰/۶ | ۰/۰۱۲ | ۱ | ۹/۲۵ | ۹/۲۵ | ۵/۷۵ | غیر مستقر |

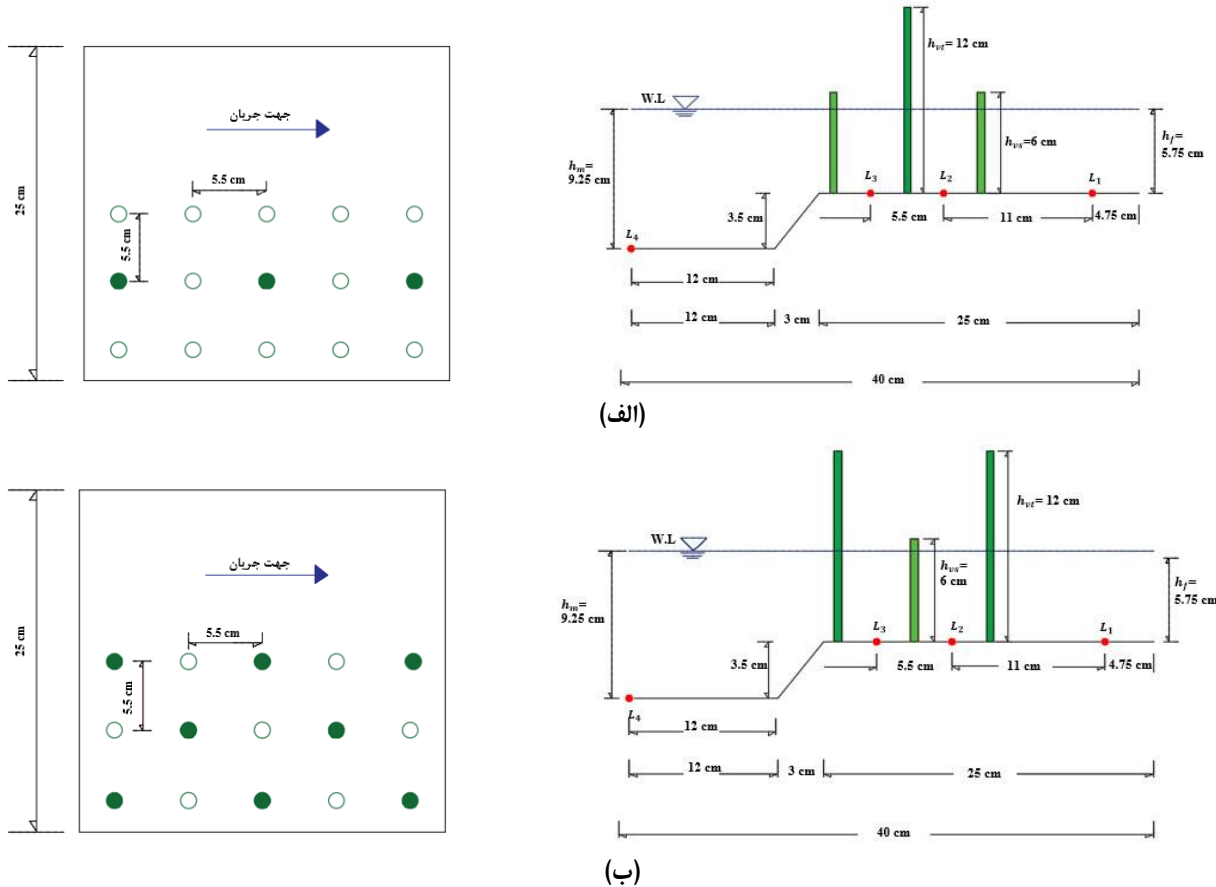
استوانه‌هایی با قطر یکسان 12 میلی‌متر و دو ارتفاع 6 و 12 سانتی‌متر که به ترتیب نشان دهنده پوشش گیاهی با ارتفاع کوتاه و پوشش گیاهی با ارتفاع بلند می‌باشد، طراحی شد. آرایش استوانه‌ها به دو صورت زیگزاگی و خطی (شکل ۳) در نوار کناری سیلابدشت در نظر گرفته شد. طراحی چیدمان‌های پوشش گیاهی بر اساس این واقعیت است که پوشش گیاهی در آبراهه‌های طبیعی دارای ارتفاع‌های متفاوت هستند و پوشش گیاهی بلندتر اغلب در نزدیکی ساحل رودخانه، و پوشش گیاهی کوتاه‌تر پیشتر در قسمت داخلی آبراهه مشاهده می‌شوند (Nepf *et al.*, 2007).

تنظیمات مدل عددی در پژوهش حاضر

برای تهیه هندسه کانال مرکب دارای پوشش گیاهی از نرمافزار AutoCad استفاده شد. در پژوهش حاضر، ابعاد کانال مشابه ابعاد فلوم آزمایشگاهی تاکیویا و همکاران در نظر گرفته شد با این تفاوت که 1 متر به ابتدای کانال جهت تامین فاصله دو برابر عرض کانال ($1/6$) متری جهت تامین توسعه یافته‌گی جریان قبل از رسیدن به ناحیه پوشش گیاهی و همچنین 1 متر به انتهای کانال جهت جلوگیری از تاثیر جریان خروجی بر الگوهای جریان، بیشتر در نظر گرفته شد (شکل ۳). پوشش گیاهی در نوار کناری سیلابدشت توسط



شکل ۳- نمای کanal مركب دارای پوشش گياهي با چيدمان شماره ۲ در نوار کناري سيلاندشتها در مدل شبيه‌ساز (دایره‌های توپر نشان‌دهنده استوانه‌های کوتاه می‌باشند)



شکل ۴ - برش از مقطع و چيدمان مختلف پوشش گياهي سيلاندشت در شرايط جريان غير مستغرق در نصف عرض کanal
الف) چيدمان شماره ۱ و ب) چيدمان شماره ۲ (دایره‌های توپر نشان‌دهنده استوانه‌های بلند و دایره‌های توخالي نشان‌دهنده استوانه‌های کوتاه می‌باشند)

جدول ۲- فاصله و نوع آرایش استوانه‌ها و شرایط هیدرولیکی جریان در ساخت مدل عددی تحقیق حاضر

| چیدمان | جریان | شرایط | قطر پوشش | بده | آرایش استوانه‌های گیاهی | استوانه‌های گیاهی (cm) | ارتفاع پوشش گیاهی | فاصله بین |
|----------------|------------|---------------|----------|--------|-------------------------|------------------------|-------------------|-----------|
| | | | D (mm) | Q(l/s) | پوشش گیاهی | پوشش گیاهی | کوتاه | بلند |
| | | | | | کوتاه | بلند | $\Delta S(cm)$ | بلند |
| چیدمان شماره ۱ | غیر مستغرق | کاملاً مستغرق | ۱۲ | ۱۰ | خطی | خطی | ۵/۵ | ۶ |
| | | | | ۱۸ | | | | |
| | | | | ۲۸ | | | | |
| چیدمان شماره ۲ | غیر مستغرق | کاملاً مستغرق | ۱۲ | ۱۰ | زیگزاگی | زیگزاگی | ۵/۵ | ۶ |
| | | | | ۱۸ | | | | |
| | | | | ۲۸ | | | | |

میانگین مطلق خطای پیش‌بینی شده^۳ (MAPE) و ضریب تبیین^۴ (R^2) استفاده شد (روابط ۱-۴). در این روابط n تعداد کل داده‌ها، obs_i مقادیر مشاهداتی و com_i مقادیر محاسباتی است. با توجه به نتایج سرعت متوسط عمق بدست آمده از مدل عددی و مقایسه با نتایج مدل فیزیکی و محاسبه‌ی خطاهای RNG (جدول ۳) مشاهده شد که مدل تلاطمی RNG دارای خطای کمتر و ضریب تبیین بیشتری نسبت به دو مدل تلاطمی LES و $k-\epsilon$ باشد، از این‌رو مدل تلاطمی RNG برای سایر شبیه‌سازی‌ها در نظر گرفته شد. این مدل توسط محققین مختلف و راهنمای نرم‌افزار نیز به عنوان بهترین مدل تلاطمی و پیش‌فرض نرم‌افزار معرفی شده است.

$$RMSE = \sqrt{\sum_{i=1}^n ((obs_i - com_i)^2 / n)} \quad (1)$$

$$MAE = \frac{1}{n} \sum_{i=1}^n |obs_i - com_i| \quad (2)$$

$$MAPE = \frac{1}{n} \sum_{i=1}^n \left| \frac{obs_i - com_i}{obs_i} \right| \times 100 \quad (3)$$

$$R^2 = 1 - \frac{\sum_{i=1}^n (obs_i - com_i)^2}{\sum_{i=1}^n obs_i^2} \quad (4)$$

با توجه به همگرایی نتایج مدت زمان شبیه‌سازی تا رسیدن به شرایط پایداری ۱۰۰ ثانیه بود. شرایط مرزی در ورودی بدء حجمی، در خروجی فشار مشخص همراه با تعیین تراز سطح آب، شرط مرزی تقارن برای مرز بین بلوک‌ها و سطح آزاد جریان و شرط مرزی دیوار برای جدارهای انتخاب شد. چهار اندازه شبکه مختلف جهت تحلیل حساسیت شبکه مورد آزمون قرار گرفت. به این منظور در شبیه‌سازی‌های حساسیت‌سنجی سه بلوک با دو اندازه شبکه متفاوت در نظر گرفته شد. از این‌رو اندازه شبکه در بلوک‌های اول و سوم یعنی نواحی فاقد پوشش گیاهی برابر با 0.01 متر و در بلوک دوم یعنی محل

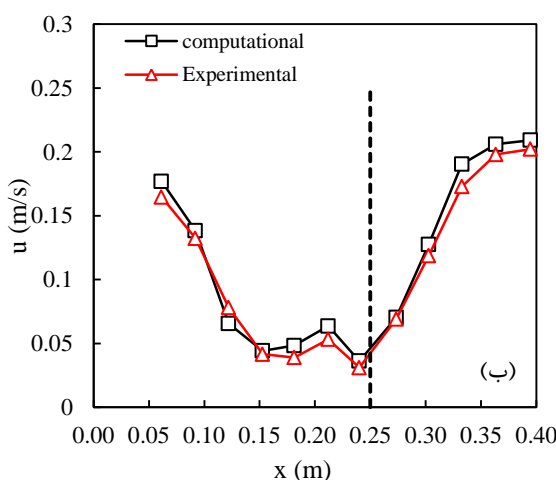
شبیه‌سازی‌ها در سه حالت جریان کاملاً مستغرق برای در نظر گرفتن شرایط سیلابی (هر دو پوشش گیاهی کوتاه و بلند کاملاً مستغرق)، نیمه مستغرق (پوشش گیاهی کوتاه مستغرق و پوشش گیاهی بلند غیر مستغرق) و غیر مستغرق جهت در نظر گرفتن پایین نقاط کنترلی مهم L1 الی L4 روی مقطع X (شکل ۴) جهت اندازه-گیری ویژگی‌های جریان انتخاب شدند (Yang et al. 2007). این نقاط در ناحیه فاقد پوشش گیاهی در سیلابدشت (L1)، نوار کناری سیلابدشت در میان پوشش گیاهی کوتاه و بلند (L2 و L3) و همچنین در خط مرکزی آبراهه اصلی در امتداد عرض کanal (L4) قرار دارند. شرایط هیدرولیکی جریان در تحقیق حاضر و فاصله و نوع آرایش استوانه‌ها در چیدمان‌های شماره ۱ و ۲ در جدول (۲) ارائه شده است.

برای داشتن انتخابی دقیق‌تر در مورد شبیه‌سازی پیش‌رو پارامتر مدل تلاطمی به عنوان یکی از موارد صحبت‌سنگی مورد بررسی قرار گرفت. به عبارتی در این پژوهش از مدل‌های تلاطمی ارائه شده در RNG، مدل‌های آشفتگی دو معادله‌ای $k-\epsilon$ ، مدل Flow-3D و مدل LES مورد ارزیابی قرار گرفتند. اما از مدل طول اختلاط پرانتل به دلیل فرضیات محدود کننده‌اش و مدل تک معادله‌ای انرژی تلاطم به دلیل اینکه کاربرد آن عمدتاً محدود به لایه‌های برشی است و تعیین تجربی توزیع مقیاس طول در جریان‌های پیچیده‌تر مشکل می‌باشد، استفاده نشد. جهت بررسی دقت نتایج پیش‌بینی شده توسط مدل‌های تلاطمی و انتخاب بهترین مدل از معیارهای مجدد میانگین مربعات خطای^۱ (RMSE)، میانگین مطلق خطای^۲ (MAE)، درصد

1- Root Mean Squared Error (RMSE)

2- Mean Absolute Error (MAE)

محور افقی فاصله عرضی در جهت x در نصف عرض کanal را نشان می‌دهد. همانطور که مشاهده می‌شود مقادیر سرعت در نواحی فاقد پوشش گیاهی در سیلابدشت (یعنی ناحیه $0.15 < x < 0.25$ m) و کanal اصلی (یعنی ناحیه $0.25 < x < 0.35$ m) بیشتر از سرعت در ناحیه دارای پوشش گیاهی در سیلابدشت (یعنی ناحیه $0.0 < x < 0.15$ m) است. این نتیجه بیانگر این واقعیت است که حضور پوشش گیاهی در نوار کناری سیلابدشت سبب ایجاد مقاومت اضافی در برابر جریان و در نتیجه کاهش سرعت جریان در سیلابدشت و افزایش گرادیان سرعت بین کanal اصلی و سیلابدشت می‌گردد. این کاهش سرعت سبب انتقال جریان در سیلابدشت و با توجه به قانون پیوستگی سبب افزایش ظرفیت انتقال جریان در آبراهه اصلی می‌شود. نتایج نشان می‌دهد که داده‌های محاسباتی تطابق خوبی با داده‌های آزمایشگاهی دارند. با این حال، مدل عددی با یک تفاوت جزئی نتایج را بیش برآورد می‌کند، که با توجه به پایین بودن مقادیر خطأ (جدول ۳) می‌توان بیان کرد که مدل عددی حاضر اعتبار خوبی دارد و این مقدار خطأ قابل قبول است.



شکل ۵- مقایسه نتایج مدل فیزیکی و مدل عددی (الف) سرعت متوسط عمقی (الف) سرعت سطحی (ب) سرعت متوسط عمقی در نیمه عرض کanal (خط چین‌ها محل شروع سیلابدشت را نشان می‌دهند)

نواحی دارای پوشش گیاهی در سیلابدشت (L2-L3) مشاهده شد. همانطور که در شکل‌های (۶) و (۷) مشاهده می‌شود سرعت جریان در هر دو چیدمان و در هر سه حالت شرایط جریان (غیرمستقر، نیمه مستقر و کاملاً مستقر) در نوار کناری سیلابدشت که دارای پوشش گیاهی است کاهش یافته، اما در ناحیه فاقد پوشش گیاهی سیلابدشت (L1) و ناحیه آبراهه اصلی (L4) بیشتر از مقدار سرعت در کناره‌ی سیلابدشت است. بنابراین می‌توان نتیجه گرفت که حضور پوشش گیاهی در سیلابدشت‌ها بر توزیع سرعت اثر گذاشته و مقاومت

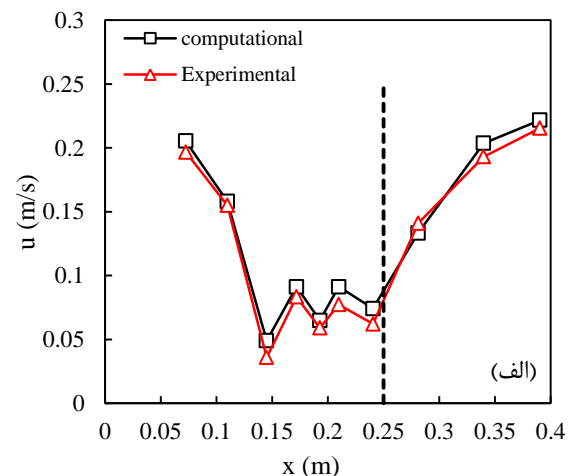
سیلابدشت‌های دارای پوشش گیاهی برابر با 0.12 ± 0.01 و 0.006 ± 0.008 متر جهت حساسیت‌سنگی تاثیر شبکه در نظر گرفته شد. با توجه به بررسی نتایج عددی و مقایسه با نتایج آزمایشگاهی، اندازه شبکه 0.006 ± 0.008 متر دارای خطای کمتر و دقیق‌تر نسبت به سایر اندازه شبکه‌ها بود.

جدول ۳- محاسبه خطای مقادیر مشاهده‌اندی و محاسباتی در پیش‌بینی سرعت متوسط عمقی در جهت جریان در مدل‌های تلاطمی مختلف

| مدل تلاطمی | معیار خطأ | | | |
|----------------|-----------|--------|--------|--------|
| | R^2 | MAPE | MAE | RMSE |
| LES | 0.812 | 53/300 | 0.0410 | 0.0454 |
| RNG | 0.902 | 17/302 | 0.0142 | 0.0155 |
| $k - \epsilon$ | 0.690 | 83/124 | 0.0528 | 0.0612 |

نتایج و بحث

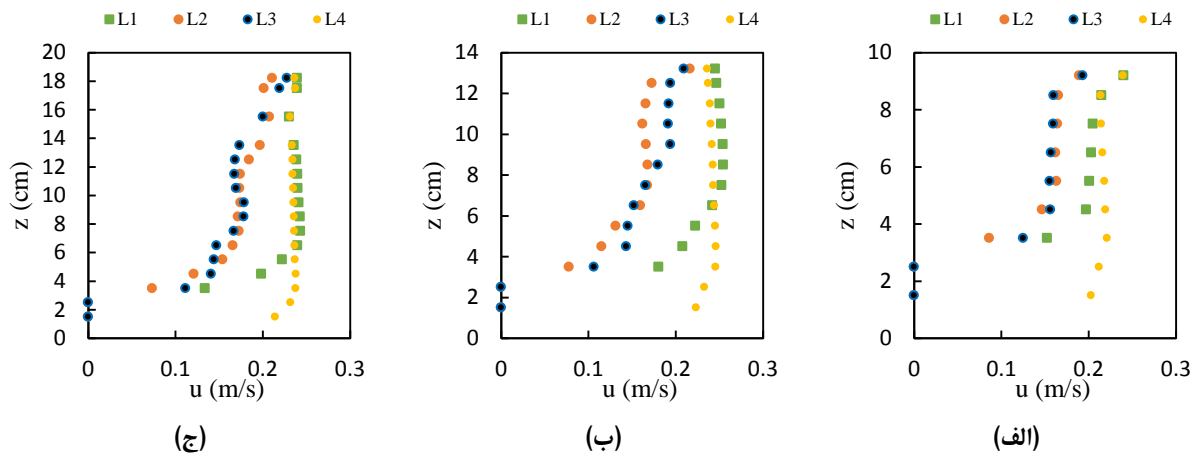
مقایسه مقادیر پارامترهای سرعت سطحی و سرعت متوسط عمقی در جهت جریان در مدل فیزیکی و مدل عددی در شکل (۵-الف) و (۵-ب) نشان داده شده است. محور عمودی سرعت جریان و



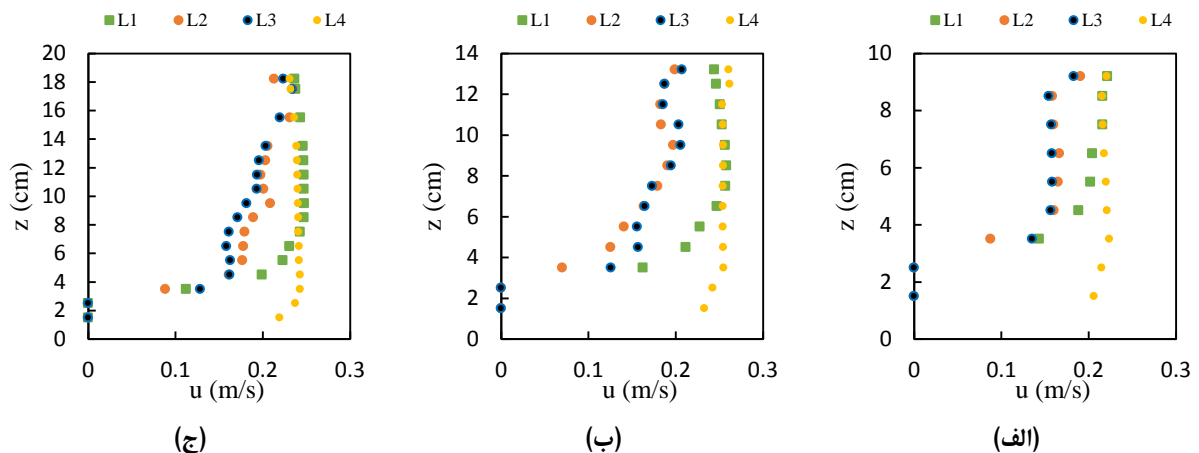
پروفیل توزیع سرعت متوسط عمقی در جهت جریان
شکل‌های (۶) و (۷) پروفیل‌های توزیع سرعت متوسط عمقی در جهت جریان (۶) به ترتیب برای چیدمان‌های شماره ۱ و ۲ در شرایط جریان مختلف در نقاط کنترلی (L4) ای ل1 را ارائه می‌دهند. محور افقی نشان‌دهنده سرعت جریان (۶) بر حسب متر بر ثانیه و محور عمودی نشان‌دهنده فاصله نقاط برداشت سرعت از کف کanal تا سطح آب بر حسب سانتی‌متر است. تفاوت‌های قابل توجهی بین سرعت در کanal اصلی (L4) و ناحیه فاقد پوشش گیاهی در سیلابدشت (L1) و

نشان می‌دهد و بعد از آن یک نقطه عطف بر بالای پوشش گیاهی کوتاه مستغرق رخ می‌دهد. این نقطه عطف در پروفیل‌های سرعت بالای پوشش گیاهی کوتاه مستغرق تا سطح آزاد آب به دلیل تبادل مومنتوم بین ناحیه بالای پوشش گیاهی کوتاه مستغرق و جریان عبوری تحت تاثیر پوشش گیاهی بلند است. با مشاهده شکل‌های (۶-ج) و (۶-ج) می‌توان دریافت که در شرایط جریان کاملاً مستغرق در هر دو چیدمان، سرعت جریان از بستر کانال به سطح آزاد جریان افزایش یافته است. همانطور که مشاهده می‌شود در این حالت نیز یک نقطه عطف بر روی پروفیل سرعت وجود دارد و توزیع سرعت هم تقریباً از یک الگوی S شکل در سیلابدشت‌ها پیروی می‌کند. اما در آبراهه اصلی یک پروفیل تقریباً لگاریتمی مشاهده می‌شود. این پروفیل‌ها با نتایج آزمایشگاهی رحیمی و همکاران و یانگ و همکاران مطابقت دارد (Yang *et al.*, 2007; Rahimi *et al.*, 2020a).

در برابر جریان را افزایش می‌دهد. این مقاومت ناشی از پوشش گیاهی در سیلابدشت‌ها در مطالعات پیشین نیز مورد بحث و بررسی قرار گرفته است (Takuya *et al.*, 2014; Koftis & Prinos, 2018). با توجه به شکل‌های (۶-الف) و (۶-الف) می‌توان مشاهده کرد که در شرایط غیرمستغرق پروفیل سرعت مشابه پروفیل سرعت در جریان‌های دارای پوشش گیاهی با یک ارتفاع ثابت می‌باشد و توزیع سرعت در بالای ناحیه بستر تا سطح آزاد در تمام نقاط تقریباً ثابت است. از آنجا که در این حالت هر دو پوشش گیاهی کوتاه و بلند غیرمستغرق بودند، نیروی کشانه تقریباً ثابتی توسط استوانه‌های پوشش گیاهی به جریان وارد شد. پروفیل‌های سرعت در شرایط نیمه مستغرق در شکل‌های (۶-ب) و (۶-ب) نشان داده شده است. همانطور که مشاهده می‌شود توزیع سرعت در بالای منطقه بستر تا انتهای پوشش گیاهی کوتاه در چیدمان‌های شماره ۱ و ۲ تقریباً رفتار یکسانی را



شکل ۶- پروفیل عمودی توزیع سرعت چیدمان شماره ۱ در شرایط جریان (الف) غیر مستغرق، (ب) نیمه مستغرق و (ج) کاملاً مستغرق



شکل ۷- پروفیل عمودی توزیع سرعت چیدمان شماره ۲ در شرایط جریان (الف) غیر مستغرق، (ب) نیمه مستغرق و (ج) کاملاً مستغرق

همچنین با مشاهده نمودارها می‌توان دریافت که در پروفیل‌های سرعت در نواحی دارای پوشش گیاهی در سیلابدشت به دلیل اثر

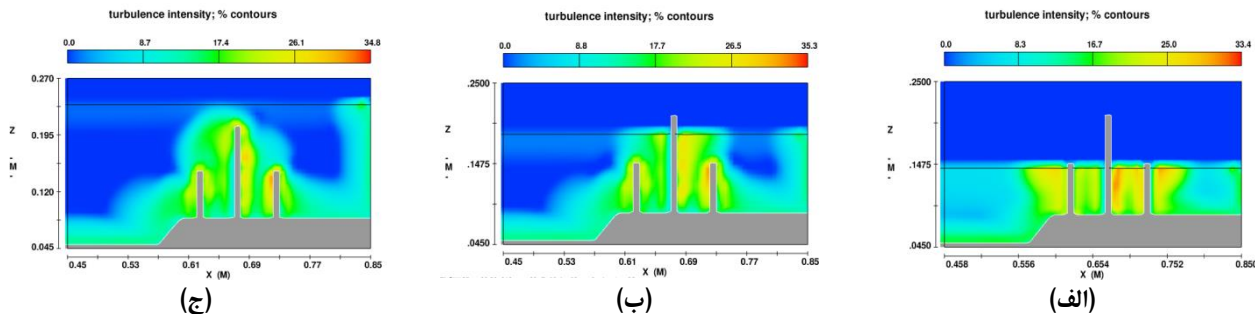
همچنین سرعت جریان عبوری از روی پوشش گیاهی بلندتر به دلیل مقاومت کمتر در مقابل جریان در این ناحیه افزایش یافته است.

دارای پوشش گیاهی می‌باشد بیشتر است، که نشان دهنده غیریکنواختی ساختار جریان در این مناطق است. در نتیجه درصد بیشتری از تلاطم در نوار کناری سیالابدشت مشاهده می‌شود که ناشی از وجود پوشش گیاهی در آن نواحی است. در شرایط جریان نیمه-مستغرق و غیرمستغرق (شکل ۸-ج و ۸-ج) و شکل (۹-ب و ۹-ج) در نواحی بالاتر از پوشش گیاهی با ارتفاع کوتاه، درصد تلاطم به دلیل کاهش تراکم پوشش گیاهی و در نتیجه کاهش نیروی کشانه ناشی از آن به طور قابل توجهی کاهش یافته است. در فصل مشترک کanal اصلی و سیالابدشت، تلاطم شدیدی در جریان مشاهده می‌شود که به دلیل ناپایداری جریان و تبادل مومنتوم در این ناحیه است. این تاثیر حضور پوشش گیاهی بر ناحیه فصل مشترک سیالابدشت و کanal Yang et al., 2007; Koftis and Prinos, 2018 در نواحی کناری اصلی نیز در تحقیقات پیشین مورد بررسی قرار گرفته است (Yang et al., 2007; Koftis and Prinos, 2018). در نواحی کناری سیالابدشت که پوشش گیاهی ناهمگون قرار گرفته است درصد شدت تلاطم دقیقاً در پشت المان‌های پوشش گیاهی بیشتر است زیرا در این نواحی مقاومت در برابر جریان بیشتر است. اما در ناحیه انتهایی سیالابدشت فاقد پوشش گیاهی درصد تلاطم کاهش یافته است.

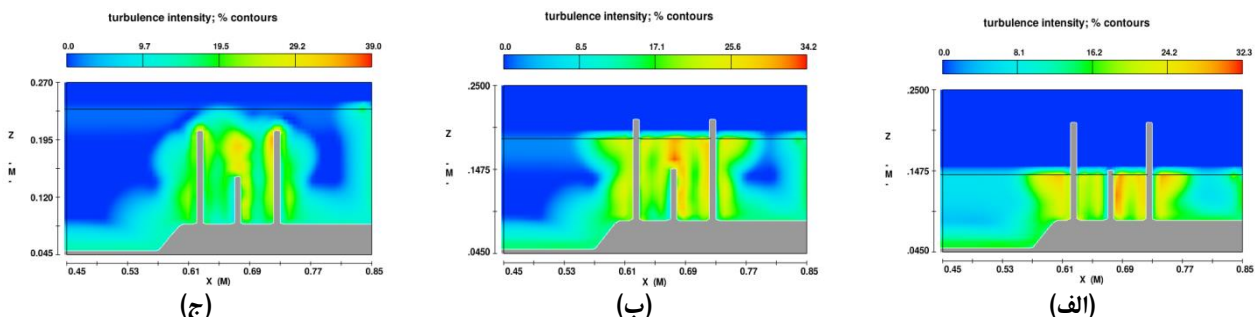
استوانه‌های پوشش گیاهی نوسانات سرعت رخ می‌دهد، در حالیکه در آبراهه اصلی (L4) و در ناحیه فاقد پوشش گیاهی در سیالابدشت (L1) هیچ نوسان سرعتی مشاهده نمی‌شود. این نوسانات در پروفیل‌های سرعت توسط آنجم و همکاران و آنجم و Tanaka نیز گزارش شده است (Anjum et al., 2018; Anjum & Tanaka, 2020).

شدت تلاطم

در شکل‌های (۸) و (۹) کانتورهای توزیع شدت تلاطم (Turbulent Intensity) به ترتیب برای چیدمان شماره ۱ و ۲ در شرایط مختلف جریان نشان داده شده است. همانطور که مشاهده می‌شود تفاوت واضحی بین ناحیه سیالابدشت دارای پوشش گیاهی با ناحیه سیالابدشت فاقد پوشش گیاهی و ناحیه کanal اصلی وجود دارد. در نواحی نزدیک بستر کanal اصلی به ویژه در شرایط غیرمستغرق، درصد تلاطم نیز به دلیل مقاومت ناشی از بستر افزایش می‌یابد. همچنین در امتداد عمق جریان در نواحی بالای بستر کanal اصلی، میزان شدت تلاطم کاهش یافته و تقریباً یکنواخت است زیرا هیچگونه مقاومتی که ناشی از حضور پوشش گیاهی باشد در کanal اصلی وجود ندارد. تغییرات شدت تلاطم در کناره‌های سیالابدشت که



شکل ۸- توزیع درصد شدت تلاطم در نصف عرض کanal در چیدمان شماره ۱ در شرایط جریان (الف) غیرمستغرق، (ب) نیمه مستغرق و (ج) کاملاً مستغرق

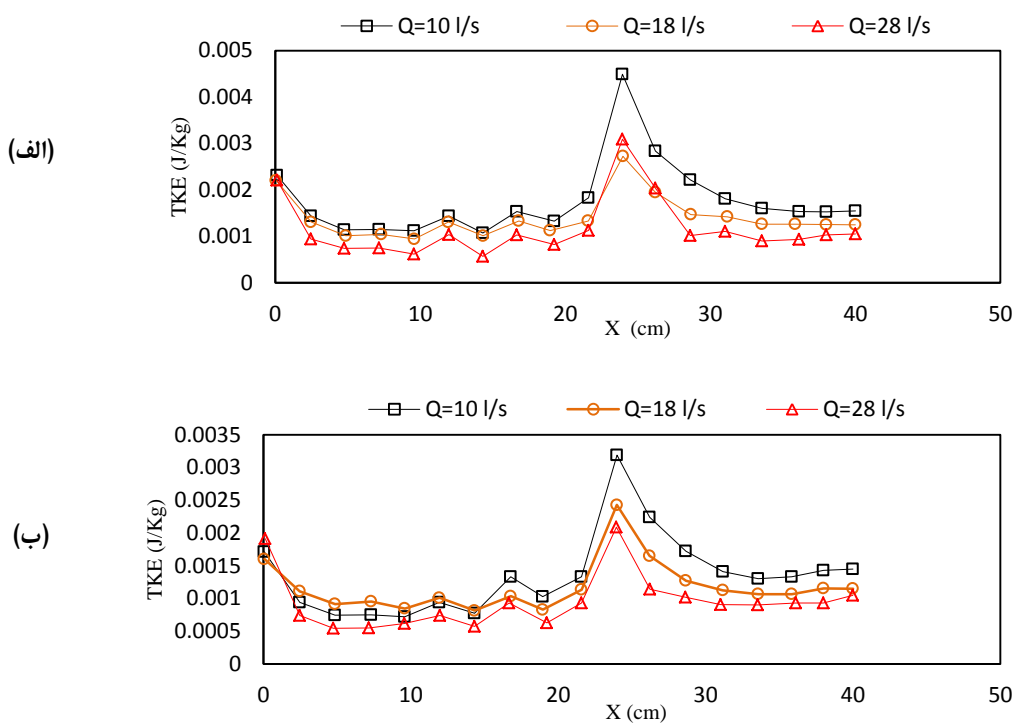


شکل ۹- توزیع درصد شدت تلاطم در نصف عرض کanal در چیدمان شماره ۲ در شرایط جریان (الف) غیرمستغرق، (ب) نیمه مستغرق و (ج) کاملاً مستغرق

شکل (۱۰) نشان داده شده است. با توجه به شکل می‌توان تفاوت ساختار جریان متلاطم بین سیالابدشت دارای پوشش گیاهی و کanal اصلی بدون پوشش گیاهی را مشاهده کرد. در ناحیه دارای پوشش گیاهی سیالابدشت، نوسانات TKE متوسط عمقی را می‌توان مشاهده کرد که علت آن افزایش مقاومت در برابر جریان و تشکیل جریان‌های ثانویه در این ناحیه می‌باشد، که با نتایج تحقیقات قبلی مطابقت داشت (Zhao and Huai, 2016; Ghani et al., 2019). در امتداد فصل مشترک سیالابدشت و کanal اصلی یعنی $25 \text{ cm} \approx x$ ، برای هر دو چیدمان شماره ۱ و ۲ در شرایط مختلف جریان، یک اوج در TKE که بدلیل تاثیر جریان‌های ثانویه و تبادل مومنتوم شدید در این ناحیه می‌باشد، رخ داده است. اما در کanal اصلی و ناحیه فاقد پوشش گیاهی سیالابدشت، توزیع TKE یکنواخت می‌باشد. این امر وجود تلاطم را در ناحیه دارای پوشش گیاهی سیالابدشت در مقایسه با ناحیه کanal اصلی و سیالابدشت فاقد پوشش گیاهی بیشتر نشان می‌دهد.

انرژی جنبشی تلاطم

در مطالعه جریان‌های متلاطم انرژی جنبشی تلاطم (Turbulent Energy) از پارامترهای بسیار مهم به حساب می‌آید. انرژی جنبشی تلاطم معیاری از شدت تلاطم است و در واقع بیانگر میزان تبادل مومنتوم بین بخش‌های مختلف جریان می‌باشد. از آنجا که پخشیدگی (Diffusion) ذرات سیال به مقدار انرژی جنبشی آنها مستقیماً دارد (Hinze, 1959)، درک بهتر انرژی جنبشی تلاطم توانایی ما را برای درک میزان پخشیدگی و نرخ اتلاف تلاطم بهبود می‌بخشد زیرا این پارامترها تابع پارامتر TKE هستند. بر اساس تحقیق نپ و ویونی در جریان تحت تاثیر پوشش گیاهی صلب بلند، بدلیل مقاومت ایجاد شده توسط تنہ و ساقه درختان، انرژی حرکتی متوسط به انرژی جنبشی متلاطم تبدیل می‌شود و باعث افزایش قابل توجه مقدار TKE می‌شود (Nepf and Vivoni, 2000). تغییرات انرژی جنبشی تلاطم (TKE) متوسط در عمق در امتداد مقطع x در



شکل ۱۰- تغییرات انرژی جنبشی تلاطم متوسط عمقی (TKE) در مقطع X (الف) چیدمان شماره ۱، (ب) چیدمان شماره ۲

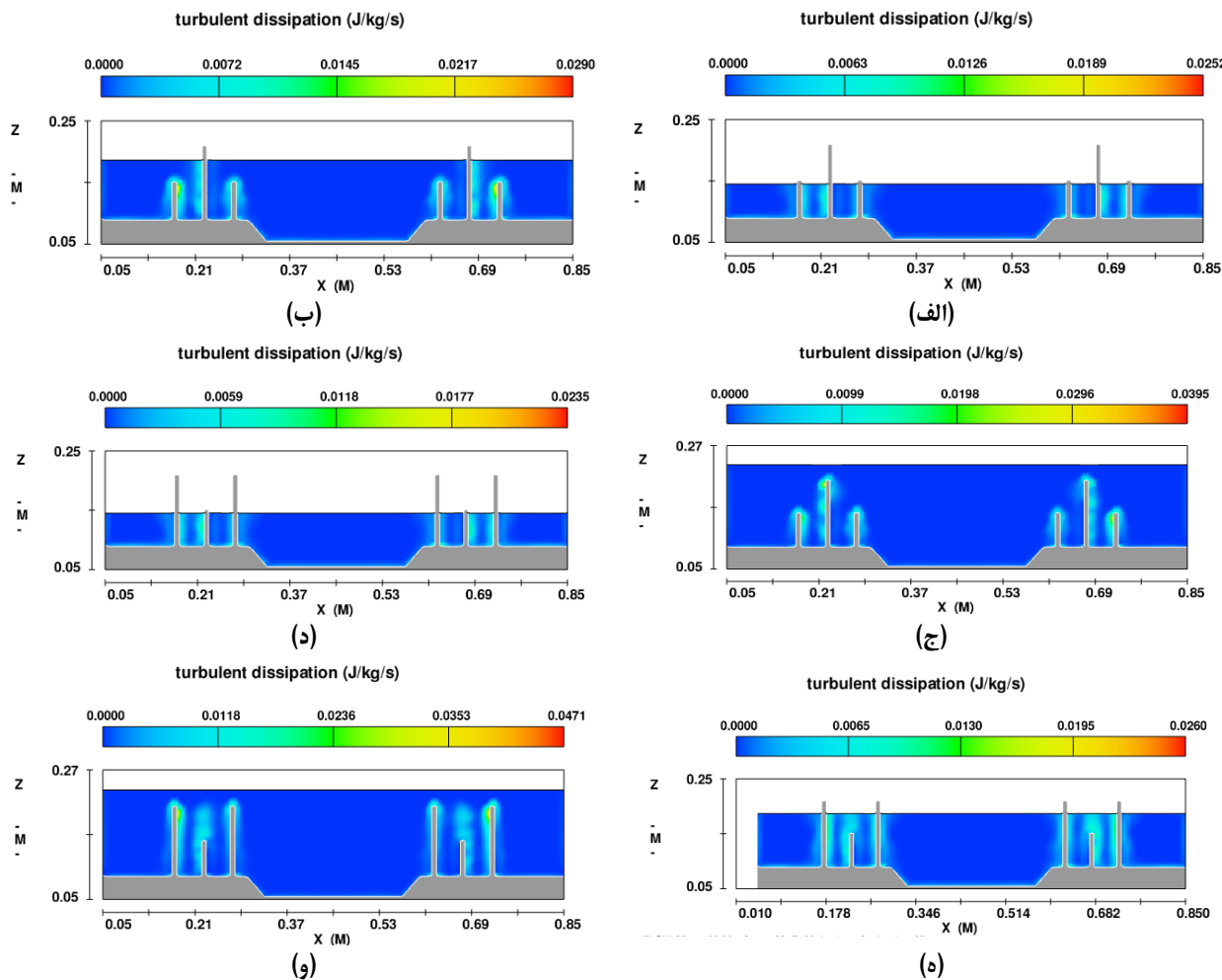
می‌شود تا در نهایت توسط نیروهای ویسکوزیته به گرما تبدیل شود. با توجه به شکل (۱۱) می‌توان مشاهده کرد که نرخ اتلاف انرژی هنگام عبور از ناحیه دارای پوشش گیاهی در سیالابدشت‌ها روند افزایشی دارد. اما در نواحی فاقد پوشش گیاهی در سیالابدشت و کanal اصلی نرخ اتلاف انرژی بسیار کم است. می‌توان مشاهده کرد که در چیدمان شماره ۲ در شرایط جریان نیمه مستعرق و کاملاً مستعرق (شکل ۱۱-

نرخ اتلاف تلاطم

تغییرات نرخ اتلاف تلاطم (Turbulent dissipation rate) در عرض کanal در شکل (۱۱) برای چیدمان‌های شماره ۱ و ۲ نشان داده شده است. اتلاف انرژی جنبشی تلاطم (انرژی مرتبط با گردابه‌های تلاطم در میدان جریان) مقداری است که در آن انرژی جنبشی تلاطم با تبدیل گردابه‌های بزرگتر به گردابه‌های کوچکتر و کوچکتر تقسیم

نقش مهمی در اتلاف انرژی داشته باشد. نتایج مشابهی توسط گرینوالد و نیکورا به دست آمد و این فرضیه را اثبات کرد که حضور پوشش گیاهی در سیالابدشت که تاثیر قابل مشاهده آن شکستن گردابه‌ها و کاهش طول گردابه‌ها است، بر افزایش اتلاف انرژی تاثیر می‌گذارد (Grinvald and Nikora, 1988).

و ۱۱-و) نرخ اتلاف انرژی بالای پوشش گیاهی با ارتفاع کوتاه افزایش یافته است. در این شرایط، جریان هنگام عبور از پوشش گیاهی بلند در نزدیکی پوشش گیاهی بلند متلاطم می‌شود و سبب ایجاد گردابه می‌شود که تولید گردابه‌ها متناسب با اتلاف انرژی جنبشی تلاطم است (Raupach et al., 1996). بنابراین، تولید ساختارهای منسجم متلاطم در اطراف ناحیه لایه اختلاط می‌تواند



شکل ۱۱- نرخ اتلاف تلاطم در چیدمان شماره ۱ (الف-ج) و چیدمان شماره ۲ (د-و)

غیرمستغرق تقریباً یکنواخت است.

- یک نقطه عطف در پروفیل توزیع سرعت در شرایط سیالابی (پوشش گیاهی کوتاه مستغرق و پوشش گیاهی بلند بصورت نیمه مستغرق یا کاملاً مستغرق) رخ می‌دهد. به دلیل تبادل عمودی مومنتوم بین تاج پوشش گیاهی و جریان عبوری از روی آن، یک لایه اختلاط قابل توجهی در بالای پوشش گیاهی مستغرق ایجاد می‌گردد.

- مقدار اوج انرژی جنبشی تلاطم و شدت تلاطم در ناحیه فصل

نتیجه‌گیری

در این تحقیق ساختار جریان و تلاطم در یک آبراهه روباز مرکب مستقیم دارای پوشش گیاهی در نوار کناری سیالدشت با دو چیدمان متفاوت پوشش گیاهی (خطی و زیگزاگی) به صورت عددی با استفاده از نرم‌افزار تجاری FLOW-3D بررسی شد. نتایج هم به صورت کیفی و هم کمی مورد بررسی قرار گرفت. نتایج کلی به صورت زیر می‌باشد:

- پروفیل توزیع سرعت در عمق جریان در شرایط جریان

- Ghani, U., Anjum, N., Pasha, G. A. and Ahmad, M. 2019. Numerical investigation of the flow characteristics through discontinuous and layered vegetation patches of finite width in an open channel. *Environmental Fluid Mechanics.* 19(6): 1469-1495.
- Grinvald, D. I. and Nikora, V. I. 1988. The turbulence of rivers. *Hydrometeoizdat:* Leningrad, Russia
- Gu, J., Shan, Y., Liu, C. and Liu, X. 2019. Feedbacks of flow and bed morphology from a submerged dense vegetation patch without upstream sediment supply. *Environmental Fluid Mechanics.* 19(2): 475-493.
- Hinze JO. 1959. *Turbulence.* New York: McGraw-Hill. p. 586
- Khoshkonesh, A., Daliri, M., Riaz, K., Dehrashid, F. A., Bahmanpouri, F. and Di Francesco, S. 2022. Dam-break flow dynamics over a stepped channel with vegetation. *Journal of Hydrology.* 613: 128395. doi.org/10.1016/j.jhydrol.2022.128395.
- Koftis, T. and Prinos, P. 2018. Reynolds stress modelling of flow in compound channels with vegetated floodplains. *Journal of Applied Water Engineering and Research.* 6(1): 17-27. doi: 10.1080/23249676.2016.1209437.
- Liu, D., Diplas, P., Hodges, C. C. and Fairbanks, J. D. 2010. Hydrodynamics of flow through double layer rigid vegetation. *Geomorphology.* 116(3-4): 286-296. doi: 10.1016/j.geomorph.2009.11.024.
- Lopez, F. and Garcia, M. H. 2001. Mean Flow and Turbulence Structure of Open-Channel Flow through Non-Emergent Vegetation. *Journal of Hydraulic Engineering.* 127: 392-402. https://doi.org/10.1061/(ASCE)07339429(2001)127:5(392)
- Neary, V. S. 2003. Numerical Solution of Fully Developed Flow with Vegetative Resistance. *Journal of Engineering Mechanics.* 129: 558-563. https://doi.org/10.1061/(ASCE)0733-9399(2003)129:5(558)
- Nepf, H. M. and Vivoni, E. R. 2000. Flow structure in depth-limited, vegetated flow. *Journal of Geophysical Research: Oceans.* 105(C12): 28547-28557. doi: 10.1029/2000JC900145.
- Nepf, H. and Ghisalberti, M. 2008. Flow and Transport in Channels with Submerged Vegetation. *Acta Geophy.* 56: 753-777. https://doi.org/10.2478/s11600-008-0017-y
- Rahimi, H. R., Tang, X., & Singh, P. 2020a. Experimental and numerical study on impact of double layer vegetation in open channel flows. *Journal of Hydrologic Engineering.* 25(2): 04019064. https://doi.org/10.1061/(ASCE)HE.1943-5584.0001865

مشترک سیلابدشت و کanal اصلی رخ می‌دهد، که نشان‌دهنده تلاطم شدید بر روی این ناحیه به دلیل ناپایداری زیاد جریان است که می‌تواند تبادل جانبی مومنتوم را تقویت کند. • حضور پوشش گیاهی در سیلابدشت که تاثیر قابل مشاهده آن شکستن گردابه‌ها و کاهش طول گردابه‌ها است، بر افزایش اتلاف انرژی تاثیر می‌گذارد.

نتایج این مطالعه ممکن است به درک عمیق تر اثرات پوشش گیاهی بر الگوهای جریان در سواحل رودخانه‌ها و آبراهه‌های مرکب دارای پوشش گیاهی ناهمگون در کناره سیلابدشت و یا سیلابدشت کاملاً پوشیده شده از پوشش گیاهی کمک کند. از آنجایی که رودخانه‌های طبیعی معمولاً به صورت آبراهه‌های مرکب می‌باشند، تحقیقات محاسباتی بیشتری برای کارهای آینده برای درک مکانیسم‌های اساسی جریان در آبراهه‌های مرکب با سواحلی که دارای چین‌الگوی پوشش گیاهی ساحلی هستند پیشنهاد می‌شود.

منابع

- Anjum, N., Ghani, U., Ahmed Pasha, G., Latif, A., Sultan, T. and Ali, S. 2018. To investigate the flow structure of discontinuous vegetation patches of two vertically different layers in an open channel. *Water.* 10(1): p.75. https://doi.org/10.3390/w10010075
- Anjum, N. and Tanaka, N. 2020. Hydrodynamics of longitudinally discontinuous, vertically double layered and partially covered rigid vegetation patches in open channel flow. *River Research and Applications.* 36(1): 115-127. https://doi.org/10.1002/rra.3546.
- Carollo, F. G., Ferro, V. and Termini, D. 2002. Flow Velocity Measurements in Vegetated Channels. *Journal of Hydraulic Engineering.* 128: 664-673. https://doi.org/10.1061/(ASCE)0733-9429(2002)128:7(664)
- Chembolu, V., Kakati, R. and Dutta, S. 2019. A laboratory study of flow characteristics in natural heterogeneous vegetation patches under submerged conditions. *Advances in Water Resources.* 133: 103418.
- Curran, J. C. and Hession, W. C. 2013. Vegetative impacts on hydraulics and sediment processes across the fluvial system. *Journal of Hydrology.* 505: 364-376.
- Dehrashid, F.A., Heidari, M., Rahimi, H.R., Khoshkonesh, A., Yuan, S., Tang, X., Lu, C., Wang, X. (2022). CFD modeling the flow dynamics in an open channel with double-layered vegetation. *Modeling earth system and environment.* doi.org/10.1007/s40808-022-01513-4.

- Vegetation. Proceedings of the 38th IAHR World Congress, Panama City, 1-6 September 2019.<https://doi.org/10.3850/38WC092019-0513>
- Tang, X., Guan, Y., Zhang, Y., Zhang, W., Jiang, Y., Liu, T. and Yi, X. 2021a. Effect of Vegetation on the Flow of a Partially-Vegetated Channel. In IOP Conference Series: Earth and Environmental Science (Vol. 668, No. 1, p. 012050). IOP Publishing.
- Tang, X., Rahimi, H., Guan, Y. and Wang, Y. 2021b. Hydraulic characteristics of open-channel flow with partially-placed double layer rigid vegetation. *Environmental Fluid Mechanics*, 21, pp.317-342.
- Yang, K., Cao, S. and Knight, D. W. 2007. Flow patterns in compound channels with vegetated floodplains. *Journal of Hydraulic Engineering*. 133(2): 148-159. doi: [10.1061/\(ASCE\)0733-9429\(2007\)133:2\(148\)](https://doi.org/10.1061/(ASCE)0733-9429(2007)133:2(148)).
- Yang, F., Huai, W. and Zeng, Y. 2020. New Dynamic Two-Layer Model for Predicting Depth-Averaged Velocity in Open Channel Flows with Rigid Submerged Canopies of Different Densities. *Advances in Water Resources*. 138: 103553. <https://doi.org/10.1016/j.advwatres.2020.103553>
- Yan, C., Shan, Y., Sun, W., Liu, C. and Liu, X. 2020. Modeling the Longitudinal Profiles of Streamwise Velocity in an Open Channel with a Model Patch of Vegetation. *Environmental Fluid Mechanics*. 20: 1441-1462. <https://doi.org/10.1007/s10652-020-09747-5>
- Zeng, C. and Li, C. W. 2014. Measurements and Modeling of Open-Channel Flows with Finite Semi-Rigid Vegetation Patches. *Environmental Fluid Mechanics*. 14: 113-134. <https://doi.org/10.1007/s10652-013-9298-z>.
- Zhang, J., Wang, W., Li, Z., Wang, H., Wang, Q. and Mi, Z. 2022. Evaluation of a random displacement model for scalar mixing in ecological channels partially covered with vegetation. *Environmental Science and Pollution Research*. 1-13.
- Zhang, J., Huai, W. X., Shi, H. R. and Wang, W. J. 2021. Estimation of the longitudinal dispersion coefficient using a two-zone model in a channel partially covered with artificial emergent vegetation. *Environmental Fluid Mechanics*. 21(1): 155-175.
- Zhao, F. and Huai, W. 2016. Hydrodynamics of Discontinuous Rigid Submerged Vegetation Patches in Open-Channel Flow. *Journal of Hydro-environment Research*. 12: 148-160. <https://doi.org/10.1016/j.jher.2016.05.004>
- Rahimi, H., Tang, X., Singh, P., Li, M. and Alaghmand, S. 2020b. Analytical Model for the Vertical Velocity Profiles in Open Channel Flows with Two Layered Vegetation. *Advances in Water Resources*. 137: 103527. <https://doi.org/10.1016/j.advwatres.2020.103527>
- Raupach, M. R., Finnigan, J. J. and Brunet, Y. 1996. Coherent eddies and turbulence in vegetation canopies: the mixing-layer analogy. In *Boundary-layer meteorology 25th anniversary volume*. 1970–1995.
- Souliotis, D. and Prinos, P. 2011. Effect of a Vegetation Patch on Turbulent Channel Flow. *Journal of Hydraulic Research*. 49: 157-167. <https://doi.org/10.1080/00221686.2011.557258>.
- Stone, B. M. and Shen, H. T. 2002. Hydraulic Resistance of Flow in Channels with Cylindrical Roughness. *Journal of Hydraulic Engineering*. 128: 500-506. [https://doi.org/10.1061/\(ASCE\)07339429\(2002\)128:5\(500\)](https://doi.org/10.1061/(ASCE)07339429(2002)128:5(500))
- Takuya, U., Keiichi, K. and Kohji, M. 2014. Experimental and numerical study on hydrodynamics of riparian vegetation. *Journal of Hydrodynamic*. 26: 796-806. doi: [10.1016/S1001-6058\(14\)60088-3](https://doi.org/10.1016/S1001-6058(14)60088-3).
- Tang, X. and Knight, D. W. 2009. Lateral Distributions of Streamwise Velocity in Compound Channels with Partially Vegetated Floodplains. *Journal of Science in China Series E: Technological Sciences*. 52: 3357-3362. <https://doi.org/10.1007/s11431-009-0342-7>
- Tang, X. and Ali, S. 2013. Evaluation of Methods for Predicting Velocity Profiles in Open Channel Flows with Submerged Rigid Vegetation. In *Proceedings of the 35th IAHR World Congress*, Chengdu, 8-13 September 2013, Vol. 4, 1-12
- Tang, X., Rahimi, H., Singh, P., Wei, Z., Wang, Y., Zhao, Y. and Lu, Q. 2018. Experimental Study of Open-Channel Flow with Partial Double-Layered Vegetation. *Proceedings of the 1st International Symposium on Water Resource and Environmental Management (WREM 2018)*, Kunming, 28-29 November 2018, 1-7. <https://doi.org/10.1051/e3sconf/20198101010>
- Tang, X. 2019. A Mixing-Length-Scale-Based Analytical Model for Predicting Velocity Profiles of Open Channel Flows with Submerged Rigid Vegetation. *Water and Environment Journal*. 33: 610-619. <https://doi.org/10.1111/wej.12434>
- Tang, X., Rahimi, H. R., Wang, Y., Zhao, Y., Lu, Q., Wei, Z. and Singh, P. 2019. Flow Characteristics of Open-Channel Flow with Partial Two-Layered

Flow and Turbulence Characteristics in a Compound Channel with Partially Layered Vegetated Floodplains

F. Ahmadi Dehrashid¹, M. Heydari^{2*}, M. Yasi³, A. Khoshkonesh⁴

Received: Dec.28, 2022

Accepted: Mar.09, 2023

Abstract

Floodplain vegetation can alter the flow characteristics of a river through the application of redundant drag forces. In this study, turbulence characteristics and flow structure were investigated under the influence of partially double-layered vegetation in a compound channel. To investigate the phenomenon, a three-dimensional numerical model was used to solve the Navier-Stokes equations and track the evolution of the free surface. To ensure the model performance, the numerical results were validated using data from previous experimental studies. The validation results showed that this model captured the flow dynamics with high accuracy. In the next step, the model was used to predict the free surface fluctuations and velocity field of the steady flow in the layered vegetated floodplains. The modeling results showed that the formation of a velocity gradient at the interface between the main channel and the floodplain can lead to the development of secondary flows and the mass and momentum exchange at this interface. In addition, turbulent kinetic energy and turbulent dissipation of the flow through vegetation in floodplains were observed in the numerical results. It was concluded that the layered vegetation can increase the flow turbulence and the dissipation rate of the flow energy. The maximum values of turbulence kinetic energy and turbulence intensity were observed at the interface between the floodplain and the main channel. Therefore, the flow disturbance at the interface between the floodplain and the main channel may increase the mass and momentum exchange in this region.

Keywords: Compound channel, Double-layer vegetation, Turbulent intensity, Turbulent kinetic energy, Velocity profile.

1- Ph.D. student in water structures, Department of Water Science and Engineering, Bu-Ali Sina University, Hamedan, Iran

2- Associate professor, Department of Water Science and Engineering, Bu-Ali Sina University, Hamedan, Iran

3- Associate professor, Department of Irrigation and Reclamation Engineering, Faculty of Agricultural Engineering & Technology, University of Tehran, Karaj Campus, Iran

4- Ph.D. in water structures, Department of Water Science and Engineering, Bu-Ali Sina University, Hamedan, Iran

(*-Corresponding Author Email: mheydari@basu.ac.ir)